

Optimisation par Simulation et Apprentissage par Renforcement

Frédéric Garcia
fgarcia@toulouse.inra.fr

INRA Unité de Biométrie et Intelligence Artificielle Toulouse

Tutoriel RFIA - Apprentissage par renforcement et Robotique
19/01/2010

Introduction

Objectif du tutorial :

- présenter les bases de l'optimisation par simulation
- expliciter quelques liens établis ou à creuser entre optimisation par simulation et apprentissage par renforcement

Plan :

- 1 Introduction
- 2 Optimisation par simulation
- 3 Méthodes de gradient en optimisation par simulation
- 4 Apprentissage par renforcement
- 5 Illustrations

Conception par simulation de systèmes pilotés

- Systèmes dynamiques complexes
- Simulation du fonctionnement du système dans le temps
- Conception par simulation :
 - ▶ choix d'une famille de politiques de contrôle $\pi \in \Pi$
 - ▶ optimisation de π par simulation du système, pour le critère

$$J = E[L(\xi)]$$

- apprentissage par renforcement / optimisation par simulation

Optimisation par simulation

(Fu et al., 2008)

- hypothèses générales sur J et L , mais généralement modèles stochastiques à évènements discrets
- Choix d'une famille de politiques paramétrées $\pi(\theta)$, $\theta \in \Theta$

$$J(\theta^*) = \max_{\theta \in \Theta} E[L(\xi)]$$

- domaine $\Theta \subseteq \mathbb{R}^p$ simple discret ou continu
- Plusieurs approches itératives :
 - ▶ méthodes d'optimisation ordinale
 - ▶ méthodes de gradient stochastique
 - ▶ méthodes de surfaces de réponse séquentielles
 - ▶ méthodes d'optimisation globales
 - ▶ méthodes meta-heuristiques

Optimisation par simulation

optimisation ordinale

Domaines discrets de taille moyenne

- Recherche rapide de solution de bonne qualité
- $\Theta = \{\theta_1, \theta_2, \dots, \theta_p\}$.
- $J(\theta_i)$ estimé par

$$\bar{J}_i = \frac{1}{N_i} \sum_{j=1}^{N_i} L_{\theta_i}(\xi_{ij})$$

- Après $N = N_1 + \dots + N_p$ simulations allouées à la résolution du problème, sélection de θ_b avec

$$b = \operatorname{argmax}_i \bar{J}_i.$$

Méthodes optimales d'allocation

- Maximisation de la probabilité de *sélection correcte* du système optimal θ^* :

$$P(SC) = P(\theta_b = \theta^*)$$

- Existence de règles simples de contrôle assurant une convergence exponentiellement rapide en N de $P(SC)$ vers 1
- règle OCBA (optimal computing budget allocation), Chen et al. (2000)

$$\frac{N_b}{N_i} = \sigma_b \sqrt{\sum_{j=1, j \neq b}^p \frac{1}{\sigma_j^2} \rho_{ij}^2}, \quad i \neq b,$$

avec

$$\rho_{ij} = \left(\frac{\sigma_j / \Delta_j}{\sigma_i / \Delta_i} \right)^2, \quad \Delta_i = J_b - J_i$$

Optimisation par simulation

gradient stochastique

Domaines continus

Approximation stochastique : version stochastique de la montée de gradient en déterministe

$$\theta_{n+1} = \theta_n + \alpha_n \hat{\nabla} J(\theta_n)$$

avec $\hat{\nabla} J(\theta_n)$ une estimation du gradient

$$\nabla J(\theta_n) = \begin{pmatrix} \dots \\ \frac{\partial}{\partial \theta_i} E[L(\xi)] \\ \dots \end{pmatrix}$$

et

$$\alpha_n \rightarrow 0.$$

Optimisation par simulation

surfaces de réponse séquentielles

Response Surface methodology (RSM) pour domaines continus (Barton and Meckesheimer, 2006)

Construction itérative autour de θ_n d'un modèle réduit de J :

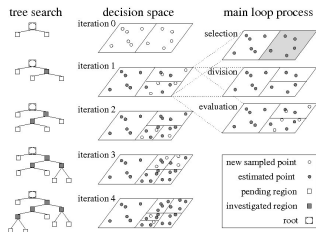
- 1 construire un plan d'expérience
- 2 simuler le plan
- 3 construire un modèle réduit de J
- 4 déterminer l'optimum de l'approximation
- 5 faire un test de continuation-arrêt
- 6 itérer si continuation

Optimisation par simulation

approches globales

domaines discrets de grande taille ou continus

- stochastic branch and bound
- nested partitions (Shi and Olafsson, 2000)
- P2 (Crespo et al., 2009)
 - 1 partitionner la région la plus prometteuse
 - 2 échantillonnage aléatoire des sous-régions
 - 3 détermination de la nouvelle région la plus prometteuse



Optimisation par simulation

métaheuristiques

- adaptation au cas stochastique des méthodes à J déterministe
- méthodes itératives locales $\theta_{n+1} \in \mathcal{V}(\theta_n)$ ou populationnelles
 - ▶ tabu search,
 - ▶ recuit simulé,
 - ▶ algorithmes génétiques, ...
- peu de considérations statistiques ou probabilistes
- très présents dans les packages commerciaux de simulation

Méthodes de gradient en OS

Approximation stochastique

Approximation stochastique : recherche itérative du zéro d'une fonction bruitée (Robbins and Monro, 1951)

$$\theta_{n+1} = \theta_n + \alpha_n U(\theta_n, \xi)$$

Convergence p.s. de θ_n vers une solution θ^*

$$E[U(\theta^*, \xi)] = 0$$

sous des hypothèses de régularité de U et pour $\sum \alpha_n = \infty$, $\sum \alpha_n^2 < \infty$:

$$n^{1/2}(\theta_n - \theta^*) \xrightarrow{\text{dist.}} \mathcal{N}(0, \Sigma) \text{ quand } n \rightarrow \infty$$

Méthodes de gradient en OS

Gradient stochastique

Application à l'optimisation

$$J(\theta^*) = \max_{\theta \in \Theta} E[L(\xi)]$$

pour une montée de gradient stochastique

$$\theta_{n+1} = \theta_n + \alpha_n \hat{\nabla} J(\theta_n)$$

avec

$$\nabla J(\theta) = \begin{pmatrix} \dots \\ \frac{\partial}{\partial \theta^i} E[L(\xi)] \\ \dots \end{pmatrix}$$

Problème : estimation du gradient

Méthode naïve de différence finie:

$$\frac{\partial}{\partial \theta^i} E[L(\xi)] \approx \frac{\hat{J}(\theta + \delta^i) - \hat{J}(\theta)}{\delta^i}$$

avec

$$\hat{J}(\theta) = \frac{1}{N} \sum_{j=1}^N L_{\theta}(\xi_j)$$

- coût élevé de l'estimation : $N(p + 1)$ simulations par itération
- N élevé \Rightarrow variance \searrow
- δ élevé \Rightarrow variance \searrow mais biais \nearrow
- différences symétriques $(\theta + \delta^i)$ et $(\theta - \delta^i)$: biais \searrow mais $2Np$ simulations.

Différences finies

Kiefer-Wolfowitz

$N = 1$: différence finie et approximation stochastique (FDSA), méthode de Kiefer-Wolfowitz (1952)

$$\frac{\partial}{\partial \theta^j} E[L(\xi)](\theta_n) \approx \frac{L_{\theta_n + \delta_n e^j}(\xi) - L_{\theta_n - \delta_n e^j}(\xi')}{2\delta_n}$$

avec $e^j = (0, \dots, 1, 0, \dots)$ vecteur de base de \mathbb{R}^p

- $\delta_n \rightarrow 0$
- $\sum \alpha_n = \infty, \sum \alpha_n \delta_n^2 < \infty, \sum (\alpha_n / \delta_n)^2 < \infty,$
- variance importante, qui \nearrow quand $\delta_n \rightarrow 0$.

$$n^{1/3}(\theta_n - \theta^*) \xrightarrow{\text{dist.}} \mathcal{N}(\mu, \Sigma) \text{ quand } n \rightarrow \infty$$

Différences finies

Perturbations simultanées

Méthode des perturbations simultanées (SPSA), Spall (1992)

$$\frac{\partial}{\partial \theta_i} E[L(\xi)](\theta_n) \approx \frac{L_{\theta_n + \delta_n \Delta}(\xi) - L_{\theta_n - \delta_n \Delta}(\xi')}{2\delta_n \Delta_i}$$

avec $\Delta = (\dots, +/- 1, \dots)$ aléatoire dans $\{-1, 1\}^p$

- même vitesse de convergence que FDSA
- 2 simulations par itération, efficace pour p grand.

Différences finies

Common seed

Pour minimiser la variance de

$$\frac{L_{\theta+\delta}(\xi) - L_{\theta-\delta}(\xi')}{2\delta}$$

on utilise des tirages communs pour ξ et ξ' :

$$\frac{L_{\theta+\delta}(\xi) - L_{\theta-\delta}(\xi)}{2\delta}$$

En terme de simulation, initialisation du générateur aléatoire avec la même graine commune en $\theta + \delta$ et $\theta - \delta$.

Accélération du taux de convergence de FDSA et SPSA de $n^{-1/3}$ à $n^{-1/2}$ (Kleinman, 1999)

Différences finies

2nd ordre

Utilisation de la matrice Hessienne

$$H = \left(\frac{\partial^2}{\partial \theta^i \partial \theta^j} E[L(\xi)] \right)_{ij}$$

comme gain matriciel pour guider et accélérer la convergence des algorithmes stochastiques adaptatifs (Benveniste et al., 1990)

$$\theta_{n+1} = \theta_n + \alpha_n \hat{H}_n^{-1} \hat{\nabla} J(\theta_n)$$

- gain matriciel optimal = $H^{-1}(\theta^*)$ inconnu
- \hat{H}_n estimée adaptativement à partir de $\hat{\nabla} J(\theta)$,
- utilisation possible de la méthode des perturbations simultanées : 3 simulations par itération (Spall, 2000).

Différences finies

Moyennisation

Les méthodes de moyennisation (averaging) permettent d'approcher le gain optimal asymptotique dans le cadre Robbins-Monro (Polyak and Juditsky, 1992)

Utilisation possible pour les méthodes de gradient stochastique :

$$\begin{aligned}\theta_{n+1} &= \theta_n + \alpha_n \hat{\nabla} J(\theta_n) \\ \bar{\theta}_{n+1} &= \frac{1}{n+1} \theta_{n+1} + \left(1 - \frac{1}{n+1}\right) \bar{\theta}_n\end{aligned}$$

- comportement asymptotique optimal non garanti
- intérêt pour $H(\theta^*)$ élevée
- autorise des gains α_n plus élevés

Méthodes de dérivation

Les méthodes de différences finies apparaissent comme des méthodes brutales de dérivation, avec hypothèse boîte noire pour L .

Pour certains types d'applications :

- modèles de file d'attente
- modèles de gestion de stock avec des politiques (s, S)
- modèles d'options en finance
- MDP

la structure de L est connue et autorise des méthodes plus fines d'estimation de $\hat{\nabla}J(\theta)$ (Fu, 2008)

Méthodes de dérivation

Analyse des perturbations infinitésimales (IPA)

l'IPA suppose que la distribution de ξ ne dépend pas de θ :

$$J(\theta) = E[L(\xi)] = \int_{\Xi} L_{\theta}(\xi) dP(\xi)$$

Sous certaines hypothèses (fortes) de régularité de L , on a alors

$$\begin{aligned} \frac{\partial}{\partial \theta^i} J(\theta) &= \int_{\Xi} \frac{\partial}{\partial \theta^i} L_{\theta}(\xi) dP(\xi) \\ &= E\left[\frac{\partial}{\partial \theta^i} L_{\theta}(\xi)\right] \end{aligned}$$

Utile si $\frac{\partial}{\partial \theta^i} L_{\theta}(\xi)$ peut être simulé exactement

Méthodes de dérivation

Analyse des perturbations infinitésimales (IPA)

- exemples :

$$\begin{aligned}L_{\theta}(\xi) &= \theta + Z(\xi) & \frac{dL}{d\theta} &= 1 \\L_{\theta}(\xi) &= \theta Z(\xi) & \frac{dL}{d\theta} &= \frac{1}{\theta} L_{\theta}(\xi) \\L_{\theta}(\xi) &= \bar{\theta} + \theta Z(\xi) & \frac{dL}{d\theta} &= \frac{1}{\theta} (L_{\theta}(\xi) - \bar{\theta})\end{aligned}$$

- dérivation de fonctions composées le long d'un chemin de simulation
- en pratique l'échange ∇ et $E[\]$ n'est pas toujours valide directement

Méthodes de dérivation

Rapport de vraisemblance / fonction score

Cas où c'est la loi de ξ qui dépend de θ (densité f_θ) :

$$J(\theta) = E[L(\xi)] = \int_{\Xi} L(\xi) f_\theta(\xi) d\xi$$

Alors

$$\begin{aligned} \frac{\partial}{\partial \theta^i} J(\theta) &= \int_{\Xi} L(\xi) \frac{\partial}{\partial \theta^i} f_\theta(\xi) d\xi \\ &= \int_{\Xi} \left(L(\xi) \frac{\frac{\partial f_\theta(\xi)}{\partial \theta^i}(\xi)}{f_\theta(\xi)} \right) f_\theta(\xi) d\xi = E \left[L(\xi) \frac{\frac{\partial f_\theta}{\partial \theta^i}(\xi)}{f_\theta(\xi)} \right] \end{aligned}$$

Estimateur $L(\xi) \frac{\nabla f_\theta(\xi)}{f_\theta(\xi)}$ dit du rapport de vraisemblance ou fonction score (LR/SF)

Méthodes de dérivation

Rapport de vraisemblance / fonction score

En pratique, $\xi = (\xi_1, \dots, \xi_t)$ le long d'une trajectoire, selon des distributions $f_{i,\theta}(\xi_i)$

Alors

$$\nabla E[L(\xi)] = E \left[L(\xi) \sum_{i=1}^t \nabla \ln f_{i,\theta}(\xi_i) \right]$$

- J et L reposent sur les processus décisionnels de Markov (PDM)
 - ▶ $\langle S, A, P, R \rangle$
 - ▶ $L = r_0 + \gamma r_1 + \gamma^2 r_2 + \dots + \gamma^t r_t + \dots$
 - ▶ politique π : fonction de $S \rightarrow A$
- Fonction de valeur V
 - ▶ $V : S \rightarrow \mathbb{R}$, associée à chaque politique π
 - ▶ $V(s) = E[r_0 + \gamma r_1 + \gamma^2 r_2 + \dots + \gamma^t r_t + \dots \mid \pi, s_0 = s]$
 - ▶ V^* associée à la politique optimale π^*
- Equation d'optimalité de Bellman en V^*

$$V^*(s) = \max_a \sum_{s'} p(s' \mid s, a) \{r(s, a, s') + \gamma V^*(s')\}, \quad \forall s$$

$$\pi^*(s) = \operatorname{argmax}_a \sum_{s'} p(s' \mid s, a) \{r(s, a, s') + \gamma V^*(s')\}, \quad \forall s$$

Méthodes itératives sur paramètres continus :

- Approximation de la fonction de valeur optimale
- Optimisation directe de la politique π

Apprentissage par renforcement

Approximation de la fonction de valeur

- Paramétrisation des fonctions de valeur $V^\omega(s)$ (ou $Q^\omega(s, a)$)
- Mise à jour itérative en cours de simulation de ω

$$\omega_{k+1} = \omega_k + \alpha_k \Delta(\langle s_k, a_k, c_k, s_{k+1} \rangle, \omega_k)$$

- Politique optimale approchée :

$$\begin{aligned}\hat{\pi}^*(s) &= \operatorname{argmin}_a Q^{\omega^*}(s, a) \\ &= \operatorname{argmin}_a \sum_{s'} \hat{p}(s' | s, a) \{r(s, a, s') + \gamma V^{\omega^*}(s')\} \\ &= \operatorname{argmin}_a \frac{1}{N} \sum_{i=1}^N \{r(s, a, s'_i) + \gamma V^{\omega^*}(s'_i)\}\end{aligned}$$

Apprentissage par renforcement

Optimisation directe de la politique

- Paramétrisation des politiques $\pi_{\theta}(s)$
- Mise à jour itérative en cours de simulation de θ

$$\theta_{k+1} = \theta_k + \alpha_k \Delta(\langle s_k, a_k, c_k, s_{k+1} \rangle, \theta_k)$$

- Possibilité de coupler apprentissage de la fonction de valeur et optimisation de la politique : architectures acteur-critique

Approximation stochastique et apprentissage par renforcement

Q-learning

Equation de Bellman :

$$V^*(s) = \max_a \sum_{s'} p(s' | s, a) \{r(s, a, s') + \gamma V^*(s')\}, \quad \forall s$$

De manière équivalente :

$$V^*(s) = \max_a Q^*(s, a), \quad \forall s$$

$$Q^*(s, a) = \sum_{s'} p(s' | s, a) \{r(s, a, s') + \gamma \max_{a'} Q^*(s', a')\}, \quad \forall s, a$$

$$Q^*(s, a) = E[r(s, a, s') + \gamma \max_{a'} Q^*(s', a')], \quad \forall s, a$$

Approximation stochastique et apprentissage par renforcement

Q-learning

On pose $\xi = (s, a, r, s')$, et $H(Q, \xi)_{s,a} = (r + \gamma \max_{a'} Q(s', a') - Q(s, a))$

Alors

$$E[H(Q^*, \xi)] = 0$$

La méthode de Robbins-Monro donne directement

$$Q_{n+1} = Q_n + \alpha_n H(Q_n, \xi_n)$$

soit

$$Q_{n+1}(s_n, a_n) = Q_n(s_n, a_n) + \alpha_n (r_n + \gamma \max_{a'} Q_n(s_{n+1}, a') - Q_n(s_n, a_n))$$

Gradient stochastique et apprentissage par renforcement

Optimisation de politiques paramétrées

(Williams, 1992 ; Baird and Moore, 1999 ; Sutton et al., 2000 ; Baxter and Bartlett, 2001)

Politique π_θ aléatoire

$$\pi_\theta(s) = a \text{ avec la proba } q(a | s; \theta) \quad \forall s$$

Exemples :

$$q(a | s; \theta) = \frac{\theta_{s,a}}{\sum_b \theta_{s,b}}, \quad \theta_{s,a} \geq 0$$

$$q(a | s; \theta) = \frac{\exp \theta \cdot \phi(s, a)}{\sum_b \exp \theta \cdot \phi(s, b)}$$

avec

$$\phi(s, a) = (\phi_1(s, a), \dots, \phi_p(s, a))$$

Gradient stochastique et apprentissage par renforcement

Optimisation de politiques paramétrées

MDP à un coup ($T = 1$), état initial tiré selon $\mu(s)$

$$J(\theta^*) = \max_{\theta} E[r(s, a, s')]$$

Méthode de la fonction score

$$\begin{aligned}\nabla E[r(s, a, s')] &= \nabla \left[\sum_{s,a,s'} \mu(s) q(a|s; \theta) p(s'|s, a) r(s, a, s') \right] \\ &= \sum_{s,a,s'} \left[\frac{\nabla q(a|s; \theta)}{q(a|s; \theta)} r(s, a, s') \right] \mu(s) q(a|s; \theta) p(s'|s, a) \\ &= E \left[\frac{\nabla q(a|s; \theta)}{q(a|s; \theta)} r(s, a, s') \right].\end{aligned}$$

Gradient stochastique et apprentissage par renforcement

Optimisation de politiques paramétrées

Avec $q(a | s; \theta) = \frac{\exp \theta \cdot \phi(s, a)}{\sum_b \exp \theta \cdot \phi(s, b)}$:

$$\frac{1}{q(a|s; \theta)} \frac{\partial q(a|s; \theta)}{\partial \theta_i} = \phi_i(s, a) - \sum_b \phi_i(s, b) q(b|s; \theta),$$

soit

$$\frac{\nabla q(a|s; \theta)}{q(a|s; \theta)} = \phi(s, a) - \sum_b q(b|s; \theta) \phi(s, b)$$

Gradient stochastique et apprentissage par renforcement

Optimisation de politiques paramétrées

Horizon $T \geq 1$

$$J(\theta^*) = \max_{\theta} E[r(s_0, a_0, s_1) + \gamma r(s_1, a_1, s_2) + \cdots + \gamma^{T-1} r(s_{T-1}, a_{T-1}, s_T)]$$

Une démarche similaire conduit à

$$\nabla J(\theta) = \nabla E\left[\sum_{t=0}^{T-1} \gamma^t r_t\right] = E\left[\sum_{t=0}^{T-1} \gamma^t r_t \sum_{t'=0}^{t-1} \frac{\nabla q(a_{t'} | s_{t'}; \theta)}{q(a_{t'} | s_{t'}; \theta)}\right]$$

Méthodes adaptatives en horizon infini (Baxter and Bartlett, 2001)

Horizon infini, équation de Bellman

$$V_{\theta}(s) = \sum_a q(a|s; \theta) \sum_{s'} p(s'|s, a)(r(s, a, s') + \gamma V_{\theta}(s'))$$

On montre que

$$\nabla V_{\theta}(s) = E \left[\sum_{t=0}^{\infty} \gamma^t \frac{\nabla q(a_t|s_t; \theta)}{q(a_t|s_t; \theta)} Q_{\theta}(s, a) | s_0 = s \right]$$

d'où

$$\begin{aligned} \nabla J(\theta) &= \sum_s \mu(s) \nabla V_{\theta}(s) \\ &= \sum_s \mu_{\theta}^{\gamma}(s) \sum_a \nabla q(a|s; \theta) Q_{\theta}(s, a) \end{aligned}$$

Gradient stochastique et apprentissage par renforcement

Méthode acteur-critique

Utilisation d'une fonction de valeur approchée $Q^\omega(s, a)$ estimée au cours de la simulation

Critère de compatibilité entre les paramétrages ω et θ

$$\nabla Q^\omega(s, a) = \frac{\nabla q(a|s; \theta)}{q(a|s; \theta)}$$

Exemple pour $q(a | s; \theta) = \frac{\exp \theta \cdot \phi(s, a)}{\sum_b \exp \theta \cdot \phi(s, b)}$:

$$Q^\omega(s, a) = \omega \cdot (\phi(s, a) - \sum_b q(b|s; \theta) \phi(s, b))$$

Q^ω linéaire en ϕ_i

Voir aussi le gradient naturel et Natural Actor-Critic (Peters and Schaal, 2008)

Conclusions

- Un réel transfert aujourd'hui du savoir-faire en optimisation par approximation stochastique et dérivation vers la communauté de l'apprentissage par renforcement
- liens entre optimisation ordinale et exploration ou encore optimisation en ligne
- liens entre approximation de fonction de valeur et metamodélisation en optimisation par simulation
- tirages communs et apprentissage par renforcement ?
- optimisation par simulation / apprentissage par renforcement et parallélisme
- des liens à faire avec les résultats sur les SMDP en optimisation par simulation
- apprentissage par renforcement et modèles à évènements discrets (Rachelson et al., 2008) ?

- L. C. Baird and A.W. Moore, Gradient Descent for General Reinforcement Learning, NIPS'98, MIT Press, 1999.
- R. R. Barton and M. Meckesheimer, Metamodel-based simulation optimisation, Handbooks in Research and Management Science: Simulation, Elsevier, 2006.
- J. Baxter and P. Bartlett, Infinite-Horizon Policy-Gradient Estimation, Journal of Artificial Intelligence Research, 15, 2001.
- A. Benveniste, M. Metivier and P. Priouret, Adaptive Algorithms and Stochastic Approximation, Springer-Verlag, 1990
- O. Buffet, Méthodes de gradient pour la recherche de politiques paramétrées. Processus décisionnels de Markov en intelligence artificielle, volume 2. Hermes Science Publishing, 2008
- C. H. Chen, J. Lin, E. Yucesan and S. E. Chick, Simulation budget allocation for further enhancing the efficiency of ordinal optimization, Discrete Event Dynamic Systems, 2000
- O. Crespo, J.-E Bergez, F. Garcia, P2 hierarchical decomposition procedure: application to irrigation strategies design, Operational Research, 2009
- M. C. Fu, What you should know about simulation and derivatives, Naval Research Logistics, (55)8, 2008
- M. C. Fu, C.-H. Chen and L. Shi, Some topics for simulation optimization, Winter Simulation Conference, 2008
- J. Kiefer and J. Wolfowitz, Stochastic estimation of a regression function, Annals of mathematical statistics, 23, 1952
- N. Kleinman, J. C. Spall and D. Q. Naiman, Simulation-based optimization with stochastic approximation using common random numbers, Management Science, 45, 1999
- J. Peters and S. Schaal, Natural Actor-Critic, Neurocomputing 71(7-9), 2008
- B. T. Polyak and A. B. Juditsky, Acceleration of Stochastic Approximation by Averaging, SIAM Journal on Control and Optimization, 30, 1992
- E. Rachelson, Q. Quesnel, F. Garcia, P. Fabiani, A Simulation-based Approach for Solving Generalized Semi-Markov Decision Processes, ECAI, 2008

Bibliographie

H. Robbins and S. Monro, A Stochastic Approximation Method, *Annals of mathematical statistics*, 22, 1951

L. Shi and S. Olafsson, Nested partitions methods for global optimization, *Operations Research*, 48, 2000

O. Sigaud et F. Garcia, Apprentissage par renforcement. Processus décisionnels de Markov en intelligence artificielle, volume 2. Hermes Science Publishing, 2008

J. C. Spall, Multivariate stochastic approximation using a simultaneous perturbation gradient approximation, *IEEE Trans. on Automatic Control* 37(3), 1992

J. C. Spall, Adaptive stochastic approximation using a simultaneous perturbation gradient approximation, *IEEE Trans. on Automatic Control* 45, 2000

R. Sutton, D. McAllester, S. Singh and Y. Mansour, Policy Gradient Methods for Reinforcement Learning with Function Approximation, *NIPS'99*, MIT Press, 2000.

R. J. Williams, Simple Statistical Gradient-Following Algorithms for Connectionist Reinforcement Learning, *Machine Learning*, (8)3, 1992.